

บทที่ 2

หลักการและทฤษฎี

ในการศึกษานี้จะศึกษาถึงหลักการและทฤษฎีที่เกี่ยวกับการไหลของของไหลผ่านวัตถุทรงกระบอกและวัตถุทรงกลม โดยจะแบ่งเป็น 4 ส่วน ในส่วนแรกจะศึกษาถึงหลักการ ทฤษฎีและสมการในการคำนวณเกี่ยวกับการไหลแบบศักย์ (Potential Flow) ส่วนที่สองจะศึกษาถึงหลักการ ทฤษฎีและสมการในการคำนวณเกี่ยวกับการไหลรอบวัตถุรูปทรงกระบอกของของไหลในขั้นตอนการ (Ideal flow about a cylinder) ซึ่งจะวิเคราะห์ถึงการไหลที่ทำให้เกิดแรงยก (Lift) โดยชี้แจงอิงจากทฤษฎีของ Kutta-Joukowski ส่วนที่สามจะศึกษาเกี่ยวกับการเกิดปรากฏการณ์การแยกตัว (Separation) ของของไหลจากวัตถุทรงกลมซึ่งก่อให้เกิดแรงเสียดทานต่อการไหล ส่วนสุดท้ายจะศึกษาถึงสมการนาเวียร์-สโตกส์ (Navier Stokes equation)

2.1 การไหลแบบศักย์ (Potential Flow) พื้นฐานที่เป็นระนาบ

การไหลแบบศักย์ (Potential Flow) คือการไหลที่ไร้ความหนืด (Inviscid Flow) ซึ่งการพิจารณาทางกายภาพจะอยู่ในรูปของ Streamline, Ψ ที่มีความสัมพันธ์กับความเร็วของการไหล ดังนี้

$$u = \frac{\partial \Psi}{\partial y} \quad \text{และ} \quad v = -\frac{\partial \Psi}{\partial x}$$

โดยให้เป็นไปตามสมการความต่อเนื่อง (Continuity) : $\frac{\partial u}{\partial x} + \frac{\partial v}{\partial y} = 0$

$$\text{จะได้ } \frac{\partial^2 \Psi}{\partial x \partial y} - \frac{\partial^2 \Psi}{\partial y \partial x} = 0$$

ในที่นี่เราพิจารณาการไหลผ่านทรงกระบอกที่กำลังหมุน ซึ่งจะแบ่ง Streamline ออกเป็นสามส่วน ได้แก่ Streamline ของกระแสอิสระที่มีความเร็วคงที่ (Uniform Flow) เป็น U_0 Streamline ของดับเบลต์และ Streamline เนื่องจากการหมุนของทรงกระบอก จากนั้นจะเป็นการรวมสามชนิดของ Streamline ดังกล่าวเข้าด้วยกันด้วยวิธี Superposition

2.1.1 การไหลแบบสม่ำเสมอ (Uniform flow)

การไหลแบบสม่ำเสมอ (Uniform Flow) คือเส้น Streamline ที่เป็นเส้นตรงและขนานกัน และขนาดของความเร็วจะมีค่าคงที่ รูปที่ 2.2 แสดงเวกเตอร์ของการไหลแบบสม่ำเสมอรวมทั้งเส้น Streamline และเส้นที่แสดงค่า Velocity Potential ที่มีค่าคงที่ ในกรณีนี้ค่าองค์ประกอบของ ความเร็วในแกน x และ y คือ $u = U$ และ $v = 0$ ดังนั้นความสัมพันธ์ของความเร็วกับ Velocity potential เนี่ยน ได้เป็น

$$\frac{\partial \phi}{\partial x} = U$$

$$\frac{\partial \phi}{\partial y} = 0$$

จากความสัมพันธ์ดังกล่าวจะสามารถอินทิเกรตและให้ค่า

$$\phi = Ux \quad (2.1)$$

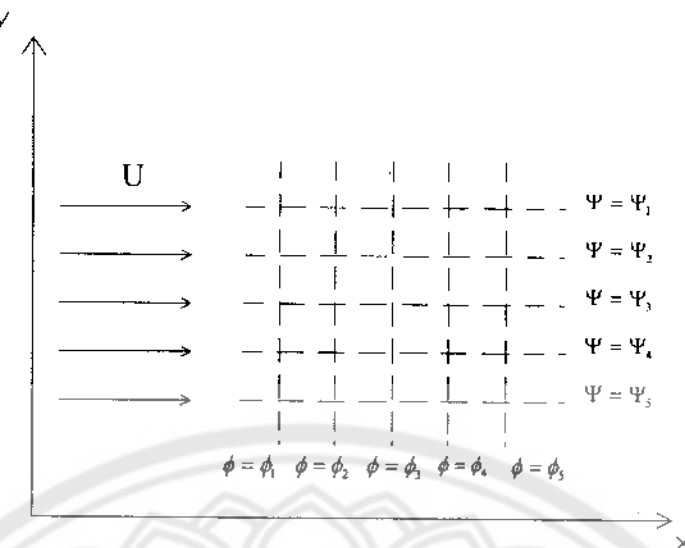
ในทำนองเดียวกันความสัมพันธ์ของค่าสตรีมฟังก์ชันกับความเร็วจะเป็น

$$\frac{\partial \Psi}{\partial y} = U$$

$$\frac{\partial \Psi}{\partial x} = 0$$

ซึ่งจะได้

$$\Psi = Uy \quad (2.2)$$



รูปที่ 2.1 การไหลแบบสม่ำเสมอ

2.1.2 การไหลแบบวอร์เทกซ์ (Vortex)

การไหลแบบวอร์เทกซ์ เป็นการไหลในลักษณะที่เคลื่อนที่เป็นวงกลม ซึ่งการเคลื่อนที่ของของไหลในลักษณะวอร์เทกซ์นี้ จะสามารถแบ่งเป็น 2 แบบ คือการไหลแบบวอร์เทกซ์อิสระ (Free Vortex) และการไหลแบบวอร์เทกซ์บังคับ (Forced Vortex) ซึ่งในการนี้จะศึกษาการไหลแบบวอร์เทกซ์อิสระ (Free Vortex) โดยการเคลื่อนที่แบบวอร์เทกซ์อิสระ (Free Vortex) จะเป็นการเคลื่อนที่ในลักษณะที่เป็นการไหลแบบไม่หมุน (Irrotational Flow) ซึ่งจะให้ค่าความเร็วในแกนพิกัด $r\theta$ เป็น $V_r = 0, V_\theta = K/r$ ในกรณีที่การไหลแบบวอร์เทกซ์อิสระ (Free Vortex) ดังกล่าว นั้นหมุนอยู่ในทิศทางเข็มนาฬิกา ซึ่งค่าความเร็วของ free vortex นี้จะมีลักษณะที่ความเร็วของการไหลลดลงเมื่อมีระยะห่างจากจุดศูนย์กลาง และมีจุด singularity อยู่ที่จุดศูนย์กลาง ซึ่งจากนิยามของค่าสคริปท์ชันและค่าศักย์ความเร็ว (Velocity Potential) เป็นความสัมพันธ์ได้เป็น

$$V_\theta = \frac{K}{r} = -\frac{\partial \Psi}{\partial r} = \frac{1}{r} \frac{\partial \phi}{\partial \theta}$$

ซึ่งเมื่ออินทิเกรทจะได้

$$\psi = -K \ln r \quad (2.3)$$

$$\phi = K\theta \quad (2.4)$$

และจากนิยามของค่า Circulation Γ ที่กำหนดให้เป็นค่าอินทิเกรตรอบเส้น โถงของความเร็วของของไหลในแนวสัมผัสในระหว่างการไหล ซึ่งแสดงได้เป็น

$$\Gamma = \oint \vec{V} \cdot d\vec{s} \quad (2.5)$$

ดังนั้นหากนำมามากับ Free vortex ที่มีจุดกำเนิดอยู่ในเส้น โถงปีก จะสามารถเพิ่มได้เป็น

$$\Gamma = \int_0^{2\pi} V_\theta r d\theta$$

$$= \int_0^{2\pi} \left(\frac{K}{r} \right) r d\theta$$

$$\Gamma = 2\pi K$$

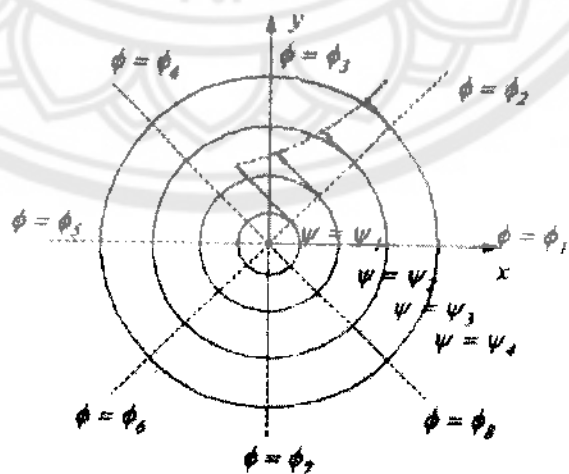
$$K = \frac{\Gamma}{2\pi} \quad (2.6)$$

เพราจะนั่นค่า Ψ และ ϕ ของกราฟแบบบัวร์ที่ก็ซึ่งหมุนในทิศทางเป็นนาฬิกา
โดยสามารถเขียนใหม่ได้เป็น

$$\Psi = -\frac{\Gamma}{2\pi} \ln r \quad (2.7)$$

$$\phi = \frac{\Gamma}{2\pi} \theta \quad (2.8)$$

โดยที่ Γ จะเรียกว่า ความแข็งแรง (Strength) ของวอร์เทกซ์ จากกลุ่มที่ 2.3 แสดงเส้น Streamline, Ψ และเส้นศักดิ์ความเร็ว (Velocity Potential), ϕ ที่มีค่าคงที่ของการไหลแบบ free vortex



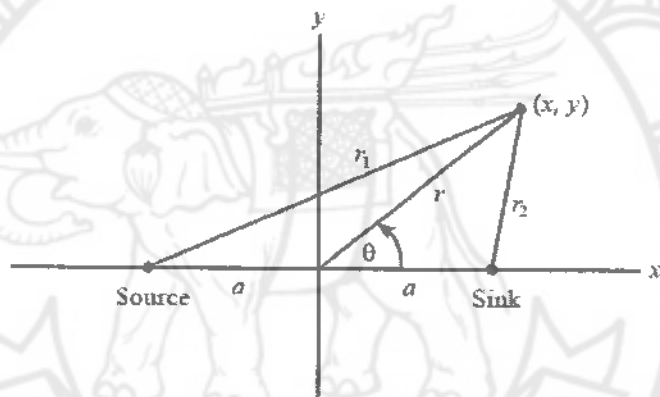
รูปที่ 2.2 การไหลแบบ Free vortex

2.1.3 การไหลแบบดับเบล็ต (Doublet)

การไหลแบบดับเบล็ต (Doublet) เป็นการไหลที่เกิดจากการนำการไหลแบบชอร์สและการไหลแบบซิงค์ที่มีขนาด strength เท่ากัน นำมาร่วมไว้ที่จุดเดียวกัน ซึ่งในการหาความสัมพันธ์ค่าศรีนพิงก์ชันและค่า velocity potential ของการไหลแบบดับเบล็ต จะเริ่มจากการนำเอาการไหลแบบชอร์สและการไหลแบบซิงค์ วางห่างกันเป็นระยะ $2a$ รูปที่ 2.3 จะแสดงถึงการไหลดังกล่าว และเนื่องจากการไหลดังกล่าวมีผลเฉลยเป็นเชิงเส้น จึงสามารถนำผลเฉลยที่ถูกแสดงในรูปค่า Ψ และ ϕ มารวมกันได้ ดังนี้นั่นค่า Ψ และ ϕ ของการไหลดังกล่าวจะเป็นเช่นไรได้เป็น

$$\Psi = -\frac{q}{2\pi}(\theta_1 - \theta_2) \quad (2.9)$$

$$\phi = \frac{q}{2\pi}(\ln r_1 - \ln r_2) \quad (2.10)$$

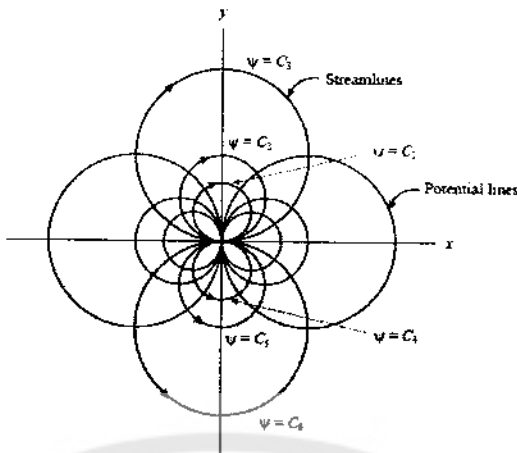


รูปที่ 2.3 แสดงการไหลแบบ source และ sink ที่มี strength เท่ากันห่างกันเป็นระยะ $2a$

จากการนำเอาค่า Ψ และ ϕ มากระจายให้อยู่ในรูป r และ a และจากนั้นกำหนดให้ค่า $a=0$ ก็จะ เสื่อนผูกกำเนิดของการไหลชอร์สและการไหลแบบซิงค์มาอยู่ที่จุดเดียวกัน จะได้ค่า Ψ และ ϕ ของการไหลเป็น

$$\Psi = \frac{-q \sin \theta}{r} \quad (2.11)$$

$$\phi = \frac{q \cos \theta}{r} \quad (2.12)$$



รูปที่ 2.4 แสดงถึงเส้น Streamline ของการไหลแบบดันเบลต์

2.2 การไหลรอบวัตถุรูปทรงกระบอกของไอลในจินตนาการ (Ideal flow about a cylinder)

พิจารณาการไหลของไอลในจินตนาการรอบวัตถุทรงกระบอกที่ยาวมาก จากไฮโตรไนมิกส์จะสามารถหาความเร็ว V_{t1} ตามแนวเส้นสัมผัสด้านที่เส้นรอบวงของวัตถุรูปทรงกระบอก ในของไอลที่ไหลด้วยความเร็วที่สม่ำเสมอคงที่; U (รูปที่ 2.3 (ก)) ได้เป็น:

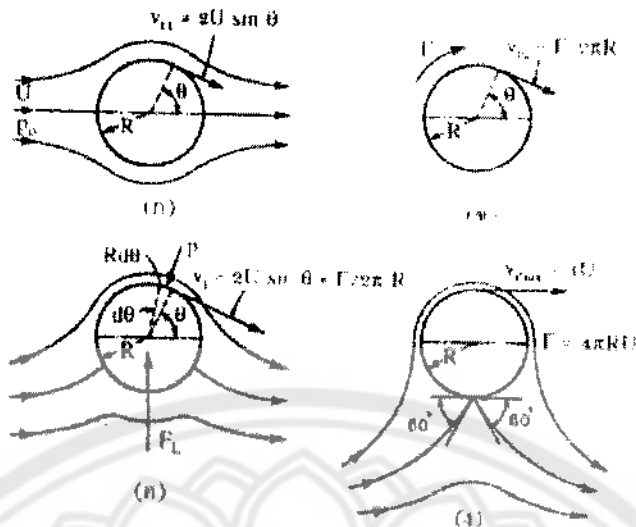
$$V_{t1} = 2U \sin \theta \quad (2.13)$$

ส่วนความดันบนวัตถุรูปทรงกลมนี้สามารถคำนวณได้จากสมการเบอร์นูลลี ที่นำมาใช้ระหว่างจุดที่อยู่ในของไอลอิสระที่อยู่ห่างจากวัตถุรูปทรงกระบอกมากๆ กับจุดที่อยู่บนผิวของวัตถุรูปทรงกระบอกและเนื่องจากความดันรอบๆ วัตถุรูปทรงกระบอกนี้กระจายตัวในลักษณะสมมาตรกัน ดังนั้นจึงไม่มีแรงยกหรือแรงด้านสูงสำหรับในการคำนวณของไอลในจินตนาการนี้

สมมุติว่ามีการไหลหมุนเวียนรอบวัตถุรูปทรงกระบอกเกิดขึ้นโดยปราศจากการไหลของกระแสอิสระดังแสดงในรูปที่ 2.3 (ข) และเมื่อให้การไหลเวียน Γ ตามเข็มนาฬิกาเป็นวงแหวน ก็จะได้ความเร็วของบริเวณความเร็วตามเส้นสัมผัสด้านแนวเส้นสัมผัสด่องผิววัตถุรูปทรงกระบอก เป็น :

$$V_{t2} = \frac{\Gamma}{2\pi R} \quad (2.14)$$

เมื่อ : $R \equiv$ รัศมีของวัตถุรูปทรงกระบอก



รูปที่ 2.5 การหมุนเวียนและการยกตัวจากการไหลรอบวัตถุรูปทรงกระบอก

ดังนั้นของไอลที่อยู่ทางด้านนอกของวัตถุรูปทรงกระบอกจะมีความเร็ว $V_{2i} = \frac{\Gamma}{2\pi r}$ การเปลี่ยนแปลงของความเร็วดังกล่าวจะทำให้ความดันที่แต่ละรัศมีนี้แตกต่างกันและสมมาตรกันในแนวรัศมีความที่อยู่ข้างการไหลหมุนอิสระ

จากนั้นให้เพิ่มการไหลแบบไอลเวียนช้อนลงบนการไหลที่สมมำนเษมอ เพื่อทำให้เกิดการไหลที่ไม่สมมาตรขึ้นดังรูป จะนั้นความเร็วบนหรือความเร็วตามแนวเส้นสัมผัสร่วมของวัตถุรูปที่ 2.3 (ค) ทรงกระบอกจะเป็นผลรวมของความเร็วทั้งสองนั้น นั่นก็คือ

$$V_t = V_{11} + V_{12}$$

$$= 2U \sin \theta + \frac{\Gamma}{2\pi R} \quad (2.15)$$

ดังนั้นความดันที่จุดใดๆ บนเส้นรอบวงก็สามารถหาได้จาก

$$\frac{P_0}{\gamma} + \frac{U^2}{2g} = \frac{P}{\gamma} + \frac{V_t^2}{2g}$$

เมื่อ : P_0 = ความดันของจุดที่อยู่ห่างออกไป ซึ่งเป็นจุดที่มีความเร็วสมมำนเษมอ
ดังนั้นเมื่อแทนค่าจากสมการ (2.11) ลงในสมการดังกล่าวก็จะได้

$$P - P_0 = \frac{\rho}{2} \left[U^2 - \left(2U \sin \theta + \frac{\Gamma}{2\pi R} \right)^2 \right]$$

เนื่องจากพื้นที่เล็กๆ ของผิวต่อหนึ่งหน่วยความยาวของวัตถุรูปทรงกระบอกนั้นมีค่าเป็น $R.d\theta$ และเนื่องจากแรงยก F_L เป็นผลรวมของแรงย้อยที่ตั้งฉากกับทิศทางของ บังนันแรงยก F_L นี้ก็มีค่าเป็น

$$F_L = -B \int_0^{2\pi} (P - P_0) \sin \theta \cdot R d\theta$$

แทนค่า $(P - P_0)$ จากสมการข้างบนแล้วอินทิเกรตก็จะได้

$$F_L = \rho B U T \quad (2.16)$$

เมื่อ $F_L =$ แรงยก

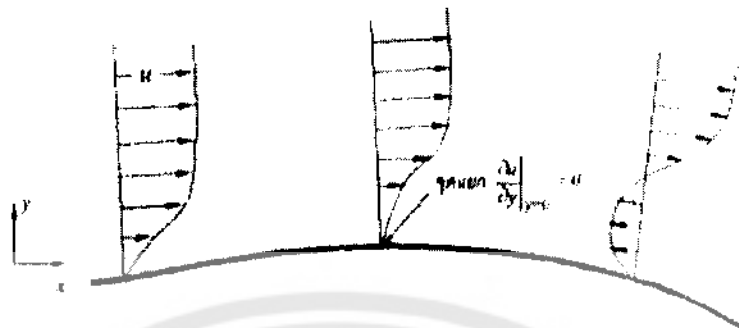
$B =$ ความยาวของวัตถุรูปทรงกระบอก

ผลของการเกิดแรงดึงกล่าวเป็นทฤษฎีของ Kutta-Joukowski ซึ่งเป็นผู้ที่นักวิศวกรรมและนักฟิสิกส์ชั้นนำ ไม่เพียงทฤษฎีนี้จะใช้กับวัตถุทรงกระบอกกลมเท่านั้น แต่ยังสามารถนำไปใช้กับวัตถุรูปทรงกระบอกที่มีหน้าตัดรูปแบบอื่นรวมทั้งแพนปีกสำหรับรับแรงยก (Lifting vane และ Airfoil)

2.3 การเกิดปรากฏการณ์การแยก (Separation)

การไหลของของไอลผ่านวัตถุ โดยทั่วไปนั้นอาจเจอกล่าวที่มีค่าความดันแตกต่าง $\left(\frac{dp}{dx} \right)$ ในกรณีที่ $\frac{dp}{dx} < 0$ คือ สภาวะที่มีค่าความดันแตกต่างเป็นศูนย์ (กรณีการไหลผ่านแผ่นราน) สภาวะที่มีความดันแตกต่างที่เป็นลบ $\left(\frac{dp}{dx} < 0 \right)$ และสภาวะที่มีค่าความดันแตกต่างที่เป็นบวก $\left(\frac{dp}{dx} > 0 \right)$ ในกรณีนี้จะศึกษาสภาวะที่มีความดันแตกต่างที่เป็นบวก เนื่องจากสภาวะที่มีค่าความแตกต่างที่เป็นบวก จะมีความดันที่ด้านทางของการไหลมีค่าน้อยกว่าค่าความดันที่ปลายทางของการไหล ดังนั้นการไหลจะไหลได้ไม่สะดวกนี้อาจมาจากการไหลจะถูกชะลอให้ไหลช้าลงจากค่าความดันที่ปลายทางซึ่งจะมีค่าสูงกว่าความดันที่ด้านทาง และหากค่าความดันแตกต่างมีขนาดมากพอ การไหลจะถูกชะลอให้ช้าลงเรื่อยๆ จนกระทั่งเกิดเงื่อนไขที่ค่าความชันของความเร็วที่ผิวของวัตถุมีค่าเป็นศูนย์ $\left(\frac{\partial u}{\partial y} \Big|_{y=0} = 0 \right)$ ซึ่งสภาวะดังกล่าวจะเรียกว่า สภาวะการแยก (Separation) และต่อจากนั้นจะเกิดการไหลข้อนกลับขึ้น รูปที่ 2.4 จะแสดงถึงสภาวะการเกิดการแยกขึ้น การแยกดังกล่าวเป็นปรากฏการณ์ธรรมชาติดีของการไหลที่เรามักไม่ต้องการให้เกิดขึ้น เพราะจะเกิดการไหล

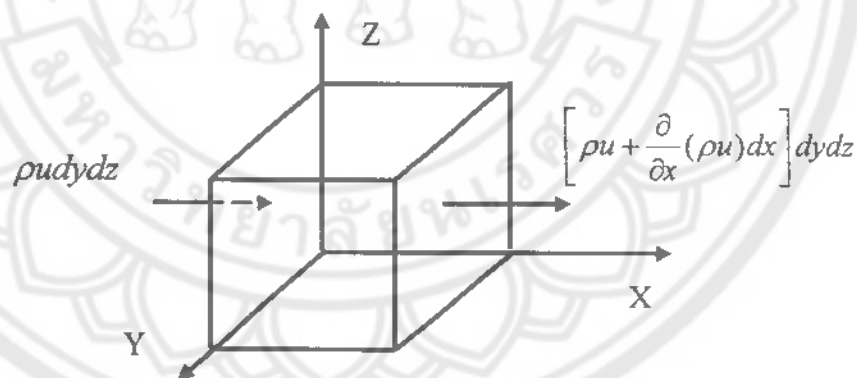
ข้อนอกลับหรือการไหลจะหักออกจากผิว ผลก็คือจะก่อให้เกิดแรงเสียดทานที่เกิดจากความดันแตกต่างสูงมาก



รูปที่ 2.6 รูปร่างความเรื่องของการไหลที่เกิดสถานะการแยก

2.4 สมการนาเวียร์-สโตกส์

ในการศึกษานี้เป็นการศึกษาถึงที่มาของสมการนาเวียร์-สโตกส์ โดยกำหนดให้การไหลเป็นการไหลที่อัดตัวไม่ได้ (Incompressible Flow) ความหนืดและความหนาแน่นของ流体มีค่าคงที่ และการไหลเป็นแบบสภาวะคงตัว (Steady State) จากรูปที่ 2.5 แสดงอัตราการเปลี่ยนแปลงมวลผ่านกล่องสี่เหลี่ยมบนปริมาตรย่อยโดยรูปกล่องสี่เหลี่ยมขนาดกว้าง dx ยาว dy และสูง dz โดยพิจารณาที่ดำเนินแห่ง (x, y, z)



รูปที่ 2.7 การเปลี่ยนแปลงมวลของระบบ

หากถืออนุรักษ์มวลที่ อัตราการเปลี่ยนแปลงมวลของระบบมีค่าเท่ากับศูนย์

$$\frac{dM_{sys}}{dt} = 0 \quad (2.17)$$

อัตราการเปลี่ยนแปลงมวลภายในปริมาตรควบคุม + อัตราการเปลี่ยนแปลงมวลผ่านผิวปริมาตรควบคุม = 0

$$\frac{\partial \rho}{\partial t} dx dy dz + \left[\rho u + \frac{\partial}{\partial x} (\rho u) dx \right] dy dz - (\rho u dy dz) = 0 \quad (2.18)$$

รวม 3 แกน

$$\frac{\partial \rho}{\partial t} + \frac{\partial}{\partial x}(\rho u) + \frac{\partial}{\partial y}(\rho v) + \frac{\partial}{\partial z}(\rho w) = 0 \quad (2.19)$$

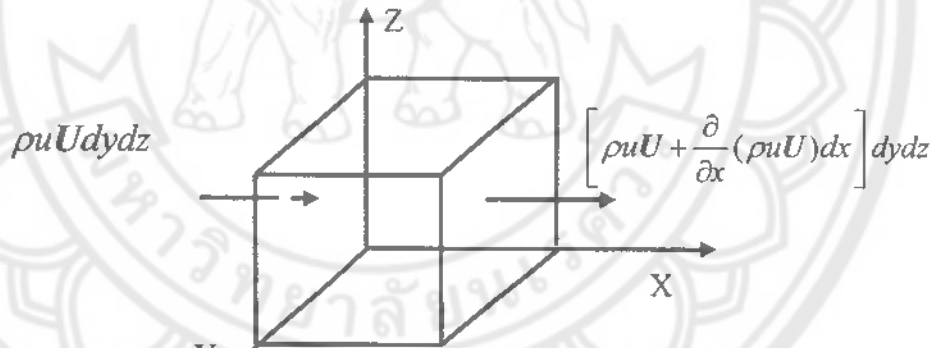
พระภูมิฯ จังหวัดเชียงใหม่

สมการต่อเนื่อง (Continuity Equation)

$$\frac{\partial \rho}{\partial t} + \nabla \cdot (\rho \mathbf{U}) = 0 \quad (2.20)$$

จากกฎข้อที่สองของนิวตันสามารถเดินทางไปยังจุดที่ไม่ได้ตั้งไว้

$$\sum F = ma = mU \quad (2.21)$$



รูปที่ 2.8 การเปลี่ยนแปลงโนเมนตัมของระบบ

ผลรวมของแรงที่กระทำต่อ CV = อัตราการเปลี่ยนแปลงโนเมนตัมภายใน CV + อัตราการเปลี่ยนแปลงโนเมนตัมผ่านศีวปริมาตรควบคุณ

$$\sum F = \frac{\partial}{\partial t}(\rho U) dx dy dz + \left[\rho u U + \frac{\partial}{\partial x}(\rho u U) dx \right] dy dz - (\rho u U dy dz) \quad (2.22)$$

$$\sum F = dxdydz \left(\frac{\partial \rho}{\partial t}(\rho U) + \frac{\partial}{\partial x}(\rho u U) + \frac{\partial}{\partial y}(\rho v U) + \frac{\partial}{\partial z}(\rho w U) \right) \quad (2.23)$$

$$\sum F = \mathbf{U} \left[\frac{\partial \rho}{\partial t} + \nabla \cdot (\rho \mathbf{U}) \right] + \rho \left(\frac{\partial \mathbf{U}}{\partial t} + u \frac{\partial \mathbf{U}}{\partial x} + v \frac{\partial \mathbf{U}}{\partial y} + w \frac{\partial \mathbf{U}}{\partial z} \right) \quad (2.24)$$

เนื่องจากสมการต่อเนื่อง (Continuity Equation) เท่ากับศูนย์

เพราะจะนั้น

$$\sum F = \rho \frac{DU}{Dt} dxdydz \quad (2.25)$$

พิจารณาเรณี่องจากแรงโน้มถ่วงของโลก ความคันและแรงเนื่องจากความหนืดจะได้

$$\rho g - \nabla p + \nabla \cdot \tau_y = \rho \frac{DU}{Dt} \quad (2.26)$$

พิจารณาของไอลที่เป็นของไอลนิวเคลียน พบว่าความเกินในของไอลนั้นมีความสัมพันธ์เชิงเส้น กับอัตราการเปลี่ยนแปลงรูปร่างเชิงมุม ดังนั้นความเกินจึงมีทั้งความเกินตั้งฉากและความเกินเฉือน ซึ่งแต่ละพจน์สามารถเขียนได้ดังนี้

$$\tau_{xx} = 2\mu \frac{\partial u}{\partial x}, \tau_{yy} = 2\mu \frac{\partial v}{\partial y}, \tau_{zz} = 2\mu \frac{\partial w}{\partial z} \quad (2.27)$$

$$\tau_{xy} = \tau_{yx} = \mu \left(\frac{\partial u}{\partial y} + \frac{\partial v}{\partial x} \right), \tau_{xz} = \tau_{zx} = \mu \left(\frac{\partial w}{\partial x} + \frac{\partial u}{\partial z} \right) \quad (2.28)$$

$$\tau_{yz} = \tau_{zy} = \mu \left(\frac{\partial v}{\partial z} + \frac{\partial w}{\partial y} \right) \quad (2.29)$$

นำสมการ 2.23-2.25 แทนค่าในสมการที่ 2.22 จะได้สมการนาเวียร์-สโตกส์สำหรับของไอล

$$\rho g - \nabla p + \mu \nabla^2 \mathbf{U} = \rho \frac{DU}{Dt} \quad (2.30)$$

ชี้งสามารถเขียนสมการนาเวียร์-สโตกส์แต่ละแนวแกนได้ดังนี้

$$\text{แกน X} : \rho \left(\frac{\partial u}{\partial t} + u \frac{\partial u}{\partial x} + v \frac{\partial u}{\partial y} + w \frac{\partial u}{\partial z} \right) = \rho g_x - \frac{\partial p}{\partial x} + \mu \left(\frac{\partial^2 u}{\partial x^2} + \frac{\partial^2 u}{\partial y^2} + \frac{\partial^2 u}{\partial z^2} \right) \quad (2.31)$$

$$\text{แกน Y} : \rho \left(\frac{\partial v}{\partial t} + u \frac{\partial v}{\partial x} + v \frac{\partial v}{\partial y} + w \frac{\partial v}{\partial z} \right) = \rho g_y - \frac{\partial p}{\partial y} + \mu \left(\frac{\partial^2 v}{\partial x^2} + \frac{\partial^2 v}{\partial y^2} + \frac{\partial^2 v}{\partial z^2} \right) \quad (2.32)$$

$$\text{แกน Z} : \rho \left(\frac{\partial w}{\partial t} + u \frac{\partial w}{\partial x} + v \frac{\partial w}{\partial y} + w \frac{\partial w}{\partial z} \right) = \rho g_z - \frac{\partial p}{\partial z} + \mu \left(\frac{\partial^2 w}{\partial x^2} + \frac{\partial^2 w}{\partial y^2} + \frac{\partial^2 w}{\partial z^2} \right) \quad (2.33)$$